

Gliederung

1. Einführung
2. Berechenbarkeitsbegriff
3. LOOP-, WHILE-, und GOTO-Berechenbarkeit
4. Primitive und partielle Rekursion
5. Grenzen der LOOP-Berechenbarkeit
6. (Un-)Entscheidbarkeit, Halteproblem
7. Aufzählbarkeit & (Semi-)Entscheidbarkeit
8. Reduzierbarkeit
9. Satz von Rice
10. Das Postsche Korrespondenzproblem
11. Komplexität – Einführung
- [12. NP-Vollständigkeit]**
13. PSPACE

Erfüllbarkeitsproblem

SAT

Eingabe: aussagenlogische Formel F

Frage: Ist F **erfüllbar**, d.h. gibt es eine $\{0,1\}$ -wertige Belegung der in F verwendeten Booleschen Variablen derart, dass F zu **wahr** (d.h. 1) ausgewertet wird?

Erfüllbarkeitsproblem

SAT

Eingabe: aussagenlogische Formel F

Frage: Ist F **erfüllbar**, d.h. gibt es eine $\{0, 1\}$ -wertige Belegung der in F verwendeten Booleschen Variablen derart, dass F zu **wahr** (d.h. 1) ausgewertet wird?

Beispiele

$$\underline{0}, \underline{1},$$

$$\underline{x_1}, \underline{x_2}, \underline{\overline{x_3}},$$

$$\underline{(x_1 \wedge \overline{x_2})},$$

$$\underline{((\overline{x_1} \wedge \overline{x_2}) \vee x_2 \vee \overline{x_3})},$$

Erfüllbarkeitsproblem

SAT

Eingabe: aussagenlogische Formel F

Frage: Ist F **erfüllbar**, d.h. gibt es eine $\{0, 1\}$ -wertige Belegung der in F verwendeten Booleschen Variablen derart, dass F zu **wahr** (d.h. 1) ausgewertet wird?

Beispiele

$0, 1,$

$x_1, x_2, \overline{x_3},$

$(x_1 \wedge \overline{x_2}),$

$((\overline{x_1 \wedge \overline{x_2}}) \vee x_2 \vee \overline{x_3})$

Theorem (Satz von Cook und Levin)

SAT ist NP-vollständig.

Erfüllbarkeitsproblem

SAT

Eingabe: aussagenlogische Formel F

Frage: Ist F **erfüllbar**, d.h. gibt es eine $\{0, 1\}$ -wertige Belegung der in F verwendeten Booleschen Variablen derart, dass F zu **wahr** (d.h. 1) ausgewertet wird?

Beispiele

0, 1,

$x_1, x_2, \overline{x_3},$

$(x_1 \wedge \overline{x_2}),$

$((\overline{x_1 \wedge \overline{x_2}}) \vee x_2 \vee \overline{x_3})$

Theorem (Satz von Cook und Levin)

SAT ist NP-vollständig.

Beweis (Idee, Details später)

guess & check

Teil 1: „SAT \in NP“: rate erfüllende Belegung (Zertifikat) und verifiziere sie.

Teil 2: „SAT ist NP-schwer“: mit $L \in NP$ beliebig, transformiere NTM N mit $T(N) = L$ in Formel $\varphi(x)$ sodass $x \in L \Leftrightarrow \varphi(x) \in \text{SAT}$.

CNF-SAT ist NP-vollständig

CNF-SAT

Eingabe: aussagenlogische Formel F in „konjunktiver Normalform“

Frage: Ist F **erfüllbar**, d.h. gibt es eine $\{0, 1\}$ -wertige Belegung der in F verwendeten Booleschen Variablen derart, dass F zu **wahr** (d.h. 1) ausgewertet wird?

Konjunktion v. Disjunktionen
 $(x_1 \vee \bar{x}_2) \wedge (\bar{x}_1 \vee x_2 \vee x_3) \wedge \dots$

CNF-SAT ist NP-vollständig

CNF-SAT

Eingabe: aussagenlogische Formel F in „konjunktiver Normalform“

Frage: Ist F **erfüllbar**, d.h. gibt es eine $\{0, 1\}$ -wertige Belegung der in F verwendeten Booleschen Variablen derart, dass F zu **wahr** (d.h. 1) ausgewertet wird?

Theorem

SAT \leq_m^P CNF-SAT (\leadsto CNF-SAT NP-vollständig)

CNF-SAT ist NP-vollständig

CNF-SAT

Eingabe: aussagenlogische Formel F in „konjunktiver Normalform“

Frage: Ist F **erfüllbar**, d.h. gibt es eine $\{0, 1\}$ -wertige Belegung der in F verwendeten Booleschen Variablen derart, dass F zu **wahr** (d.h. 1) ausgewertet wird?

Theorem

SAT \leq_m^P CNF-SAT (\leadsto CNF-SAT NP-vollständig)

Beweis (Skizze)

Reduktion: φ \leadsto **erfüllbarkeits**-äquivalente Formel ψ :

CNF-SAT ist NP-vollständig

$$[x \rightarrow y \equiv \bar{x} \vee y]$$

CNF-SAT

Eingabe: aussagenlogische Formel F in „konjunktiver Normalform“

Frage: Ist F **erfüllbar**, d.h. gibt es eine $\{0, 1\}$ -wertige Belegung der in F verwendeten Booleschen Variablen derart, dass F zu **wahr** (d.h. 1) ausgewertet wird?

Theorem

$\text{SAT} \leq_m^P \text{CNF-SAT}$ (\leadsto CNF-SAT NP-vollständig)

Beweis (Skizze)

Reduktion: $\varphi \leadsto$ erfüllbarkeits-äquivalente Formel ψ :

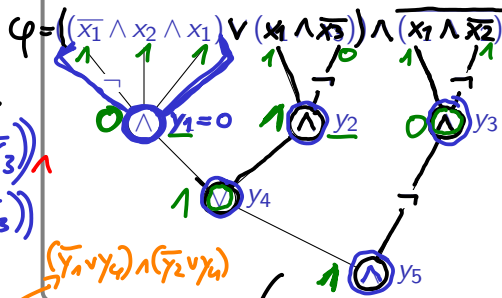
$$\psi = (y_1 \leftrightarrow (\bar{x}_1 \wedge x_2 \wedge x_1)) \wedge (y_2 \leftrightarrow (x_1 \wedge \bar{x}_3)) \wedge$$
$$y_5 \wedge (y_3 \leftrightarrow \dots) \wedge (y_4 \leftrightarrow (y_1 \vee y_2)) \wedge (y_5 \leftrightarrow (y_4 \wedge \bar{y}_3))$$

$$y_4 \leftrightarrow (y_1 \vee y_2) \equiv (y_4 \rightarrow (y_1 \vee y_2)) \wedge ((y_1 \vee y_2) \rightarrow y_4)$$
$$(\bar{y}_4 \vee y_1 \vee y_2) \wedge ((\bar{y}_1 \wedge \bar{y}_2) \vee y_4)$$

Berechenbarkeit und Komplexität

Beispiel

$$x_1 = 1, x_2 = 1, x_3 = 0$$



NP-Vollständigkeit

“Formelbaum”

80/94

CNF-SAT ist NP-vollständig

CNF-SAT

Eingabe: aussagenlogische Formel F in „konjunktiver Normalform“

Frage: Ist F **erfüllbar**, d.h. gibt es eine $\{0, 1\}$ -wertige Belegung der in F verwendeten Booleschen Variablen derart, dass F zu **wahr** (d.h. 1) ausgewertet wird?

Theorem

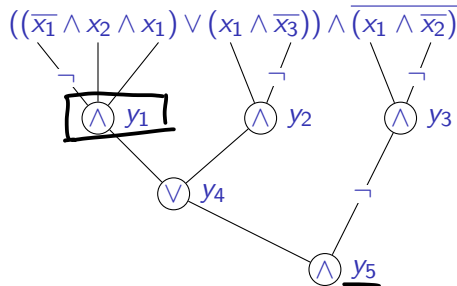
$\text{SAT} \leq_m^P \text{CNF-SAT} (\leadsto \text{CNF-SAT NP-vollständig})$

Beweis (Skizze)

Reduktion: $\varphi \leadsto$ **erfüllbarkeits**-äquivalente Formel ψ :

- (1) neue Variable y_i für jeden Knoten im “Formelbaum” mit “äquivalentem Wahrheitswert”
- (2) neue Klausel für die Wurzel

Beispiel



CNF-SAT ist NP-vollständig

CNF-SAT

Eingabe: aussagenlogische Formel F in „konjunktiver Normalform“

Frage: Ist F **erfüllbar**, d.h. gibt es eine $\{0, 1\}$ -wertige Belegung der in F verwendeten Booleschen Variablen derart, dass F zu **wahr** (d.h. 1) ausgewertet wird?

Theorem

$\text{SAT} \leq_m^P \text{CNF-SAT}$ (\leadsto CNF-SAT NP-vollständig)

Beweis (Skizze)

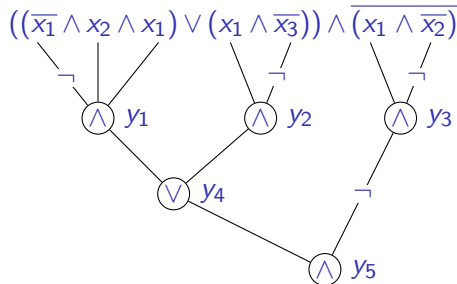
Reduktion: $\varphi \leadsto$ **erfüllbarkeits**-äquivalente Formel ψ :

- (1) neue Variable y_i für jeden Knoten im “Formelbaum” mit “äquivalentem Wahrheitswert”
- (2) neue Klausel für die Wurzel

ψ erfüllbar \Leftrightarrow φ erfüllbar ✓

↪ CNF

Beispiel



CNF-SAT ist NP-vollständig

CNF-SAT

Eingabe: aussagenlogische Formel F in „konjunktiver Normalform“

Frage: Ist F **erfüllbar**, d.h. gibt es eine $\{0, 1\}$ -wertige Belegung der in F verwendeten Booleschen Variablen derart, dass F zu **wahr** (d.h. 1) ausgewertet wird?

Theorem

SAT \leq_m^P CNF-SAT (\leadsto CNF-SAT NP-vollständig)

Beweis (Skizze)

Reduktion: $\varphi \leadsto$ **erfüllbarkeits**-äquivalente Formel ψ :

(1) neue Variable y_i für jeden Knoten im “Formelbaum” mit “äquivalentem Wahrheitswert”

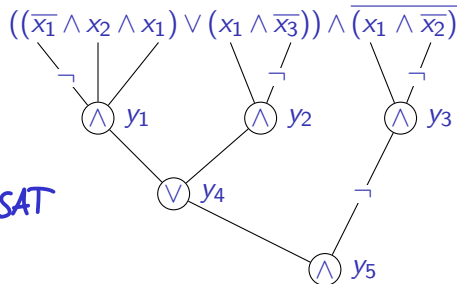
(2) neue Klausel für die Wurzel

ψ erfüllbar $\Leftrightarrow \varphi$ erfüllbar ✓

poly-time computable ✓ (ab jetzt implizit)

$\langle \varphi \rangle \in \text{SAT} \Leftrightarrow \langle \psi \rangle \in \text{CNF-SAT}$

Beispiel



3-SAT ist NP-vollständig

Theorem

CNF-SAT \leq_m^P 3-SAT (also ist 3-SAT NP-vollständig).

Formel in 3-KNF

$$(x_1 \vee \overline{x_2} \vee x_3) \wedge (\quad) \wedge (\quad)$$

$\xleftarrow{\leq 3 \text{ Literale}}$

3-SAT ist NP-vollständig

Theorem

CNF-SAT \leq_m^P 3-SAT (also ist 3-SAT NP-vollständig).

Beweis (Skizze)

Reduktion: CNF-Formel φ \leadsto erfüllbarkeits-äquivalente 3CNF-Formel ψ

Für jede Klausel $c_j = (l_1 \vee l_2 \vee \dots \vee l_r)$ $\in \varphi$,

3-SAT ist NP-vollständig

Theorem

CNF-SAT \leq_m^P 3-SAT (also ist 3-SAT NP-vollständig).

Beweis (Skizze)

Reduktion: CNF-Formel $\varphi \rightsquigarrow$ **erfüllbarkeits**-äquivalente 3CNF-Formel ψ

Für jede Klausel $c_j = (\ell_1 \vee \ell_2 \vee \dots \vee \ell_r) \in \varphi$,

- falls $r \leq 3$, dann füge c_j zu ψ hinzu;

3-SAT ist NP-vollständig

Theorem

CNF-SAT \leq_m^P 3-SAT (also ist 3-SAT NP-vollständig).

Beweis (Skizze)

Reduktion: CNF-Formel $\varphi \rightsquigarrow$ erfüllbarkeits-äquivalente 3CNF-Formel ψ

Für jede Klausel $c_j = (\underline{l_1} \vee \underline{l_2} \vee \dots \vee l_r) \in \varphi$,

► falls $r \leq 3$, dann füge c_j zu ψ hinzu;

► sonst füge c'_j hinzu mit

$$c'_j := (\underline{l_1} \vee \underline{l_2} \vee \underline{y_1}) \wedge (\overline{y_1} \vee l_3 \vee l_4 \vee \dots \vee l_r) \wedge (\overline{y_2} \vee l_4 \vee y_3) \dots (\overline{y_{r-3}} \vee l_{r-1} \vee l_r)$$

wobei y_1, \dots, y_{r-3} neue Variablen sind.

\Rightarrow c_j erfüllt $\rightsquigarrow \exists$ Literal l_i s.d. $\beta(l_i) = 1$. Fall 1 $i \leq 2 \rightsquigarrow \beta \cup \{(y_1, 0)\}$ erfüllt
von β Fall 2 $i > 2 \rightsquigarrow \beta \cup \{(y_1, 1)\}$ erfüllt

\Leftarrow c'_j erfüllt v. β . Fall 1: $\beta(y_1) = 0 \rightsquigarrow \beta(l_1) = 1$ oder $\beta(l_2) = 1 \rightsquigarrow \beta$ erfüllt c_j
Fall 2: $\beta(y_1) = 1 \rightsquigarrow \exists_{i \geq 2} \beta(l_i) = 1 \rightsquigarrow \beta$ erfüllt c_j

3-SAT ist NP-vollständig

Theorem

CNF-SAT \leq_m^P 3-SAT (also ist 3-SAT NP-vollständig).

Beweis (Skizze)

Reduktion: CNF-Formel $\varphi \rightsquigarrow$ **erfüllbarkeits**-äquivalente 3CNF-Formel ψ

Für jede Klausel $c_j = (\ell_1 \vee \ell_2 \vee \dots \vee \ell_r) \in \varphi$,

► falls $r \leq 3$, dann füge c_j zu ψ hinzu;

► sonst füge c'_j hinzu mit

$$c'_j := (\ell_1 \vee \ell_2 \vee y_1) \wedge (\overline{y_1} \vee \ell_3 \vee y_2) \wedge (\overline{y_2} \vee \ell_4 \vee y_3) \dots (\overline{y_{r-3}} \vee \ell_{r-1} \vee \ell_r)$$

wobei y_1, \dots, y_{r-3} neue Variablen sind.

\rightsquigarrow Belegung β erfüllt $c_j \Leftrightarrow$ Erweiterung von β erfüllt c'_j

3-SAT ist NP-vollständig

Theorem

CNF-SAT \leq_m^P 3-SAT (also ist 3-SAT NP-vollständig).

Beweis (Skizze)

Reduktion: CNF-Formel $\varphi \rightsquigarrow$ **erfüllbarkeits**-äquivalente 3CNF-Formel ψ

Für jede Klausel $c_j = (\ell_1 \vee \ell_2 \vee \dots \vee \ell_r) \in \varphi$,

► falls $r \leq 3$, dann füge c_j zu ψ hinzu;

► sonst füge c'_j hinzu mit

$$c'_j := (\ell_1 \vee \ell_2 \vee y_1) \wedge (\overline{y_1} \vee \ell_3 \vee y_2) \wedge (\overline{y_2} \vee \ell_4 \vee y_3) \dots (\overline{y_{r-3}} \vee \ell_{r-1} \vee \ell_r)$$

wobei y_1, \dots, y_{r-3} neue Variablen sind.

\rightsquigarrow Belegung β erfüllt $c_j \Leftrightarrow$ Erweiterung von β erfüllt c'_j

ψ erfüllbar \Leftrightarrow φ erfüllbar ✓

3-SAT ist NP-vollständig

Theorem

CNF-SAT \leq_m^P 3-SAT (also ist 3-SAT NP-vollständig).

Beweis (Skizze)

Reduktion: CNF-Formel $\varphi \rightsquigarrow$ erfüllbarkeits-äquivalente 3CNF-Formel ψ

Für jede Klausel $c_j = (\ell_1 \vee \ell_2 \vee \dots \vee \ell_r) \in \varphi$,

► falls $r \leq 3$, dann füge c_j zu ψ hinzu;

► sonst füge c'_j hinzu mit

$$c'_j := (\ell_1 \vee \ell_2 \vee y_1) \wedge (\overline{y_1} \vee \ell_3 \vee y_2) \wedge (\overline{y_2} \vee \ell_4 \vee y_3) \dots (\overline{y_{r-3}} \vee \ell_{r-1} \vee \ell_r)$$

wobei y_1, \dots, y_{r-3} neue Variablen sind.

\rightsquigarrow Belegung β erfüllt $c_j \Leftrightarrow$ Erweiterung von β erfüllt c'_j

ψ erfüllbar $\Leftrightarrow \varphi$ erfüllbar ✓

Bemerkung: $|\psi| \leq \underline{3}|\varphi|$

VERTEX COVER ist NP-vollständig



Theorem

3-SAT \leq_m^p VERTEX COVER.

VERTEX COVER ist NP-vollständig

Theorem

3-SAT \leq_m^P VERTEX COVER.

Beweis (Skizze)

Formel $\varphi \rightsquigarrow$ $(G, k = \#Var + 2\#Klauseln)$

Beispiel: $(x_1 \vee x_2 \vee \overline{x_3})$ \wedge $(\overline{x_1} \vee \overline{x_2} \vee x_3)$

VERTEX COVER ist NP-vollständig

Theorem

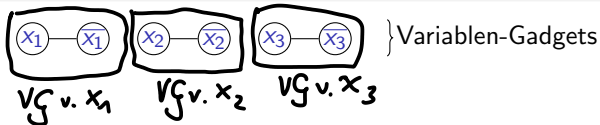
3-SAT \leq_m^P VERTEX COVER.

Beweis (Skizze)

Formel $\varphi \rightsquigarrow (G, k = \#Var + 2\#Klauseln)$

1. Variablen-Gadget: Variable $x_i \rightsquigarrow$ 2 benachbarte Knoten mit Beschriftungen x_i und \bar{x}_i

Beispiel: $(x_1 \vee x_2 \vee \bar{x}_3) \wedge (\bar{x}_1 \vee \bar{x}_2 \vee x_3)$



VERTEX COVER ist NP-vollständig

Theorem

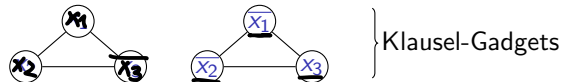
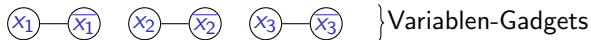
$3\text{-SAT} \leq_m^P \text{VERTEX COVER}$.

Beweis (Skizze)

Formel $\varphi \rightsquigarrow (G, k = \#\text{Var} + 2\#\text{Klauseln})$

1. **Variablen-Gadget**: Variable $x_i \rightsquigarrow$ 2 benachbarte Knoten mit Beschriftungen x_i und $\overline{x_i}$
2. **Klausel-Gadget**: Klausel $(\ell_{i_1} \vee \ell_{i_2} \vee \ell_{i_3}) \rightsquigarrow$ Dreieck mit Beschriftungen $\ell_{i_1}, \ell_{i_2}, \ell_{i_3}$

Beispiel: $(x_1 \vee x_2 \vee \overline{x_3}) \wedge (\overline{x_1} \vee \overline{x_2} \vee x_3)$



VERTEX COVER ist NP-vollständig

Theorem

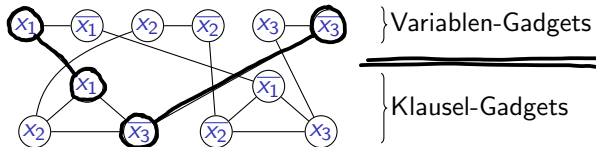
3-SAT \leq_m^P VERTEX COVER.

Beweis (Skizze)

Formel $\varphi \rightsquigarrow (G, k = \#Var + 2\#Klauseln)$

1. Variablen-Gadget: Variable $x_i \rightsquigarrow$ 2 benachbarte Knoten mit Beschriftungen x_i und $\overline{x_i}$
2. Klausel-Gadget: Klausel $(l_{i_1} \vee l_{i_2} \vee l_{i_3}) \rightsquigarrow$ Dreieck mit Beschriftungen $l_{i_1}, l_{i_2}, l_{i_3}$
3. Verbinde Knoten mit gleicher Beschriftung zwischen Var-Gadgets & Klausel-Gadgets

Beispiel: $(x_1 \vee x_2 \vee \overline{x_3}) \wedge (\overline{x_1} \vee \overline{x_2} \vee x_3)$



VERTEX COVER ist NP-vollständig

Theorem

$3\text{-SAT} \leq_m^P \text{VERTEX COVER}$.

Beweis (Skizze)

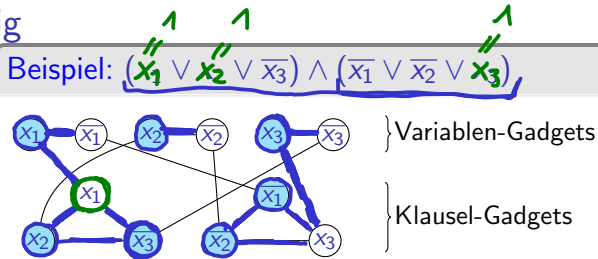
Formel $\varphi \rightsquigarrow (G, k = \# \text{Var} + 2 \# \text{Klauseln})$

1. Variablen-Gadget: Variable $x_i \rightsquigarrow$ 2 benachbarte Knoten mit Beschriftungen x_i und \bar{x}_i
2. Klausel-Gadget: Klausel $(l_{i_1} \vee l_{i_2} \vee l_{i_3}) \rightsquigarrow$ Dreieck mit Beschriftungen $l_{i_1}, l_{i_2}, l_{i_3}$
3. Verbinde Knoten mit gleicher Beschriftung

„ \Rightarrow “: aus Variablen-Gadget, wähle entsprechend der Belegung

\rightsquigarrow alle anderen Kanten mit 2 Knoten aus jedem Klausel-Gadget überdeckt

- ① Kanten in Var.-Gadgets ✓
- ② Kanten in Klauselgadgets ✓
- ③ Kanten zwischen VGs & KGs ✓



VERTEX COVER ist NP-vollständig

Theorem

$3\text{-SAT} \leq_m^P \text{VERTEX COVER}$.

Beweis (Skizze)

Formel $\varphi \rightsquigarrow (G, k = \# \text{Var} + 2 \# \text{Klauseln})$

1. Variablen-Gadget: Variable $x_i \rightsquigarrow$ 2 benachbarte Knoten mit Beschriftungen x_i und \bar{x}_i
2. Klausel-Gadget: Klausel $(\ell_{i_1} \vee \ell_{i_2} \vee \ell_{i_3}) \rightsquigarrow$ Dreieck mit Beschriftungen $\ell_{i_1}, \ell_{i_2}, \ell_{i_3}$
3. Verbinde Knoten mit gleicher Beschriftung

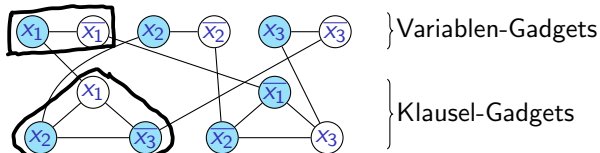
„ \Rightarrow “: aus Variablen-Gadget, wähle entsprechend der Belegung

„ \rightsquigarrow “: alle anderen Kanten mit 2 Knoten aus jedem Klausel-Gadget überdeckt

„ \Leftarrow “:

- (a) ≥ 1 Knoten von jedem Variablen-Gadget in jeder VC-Lösung
- (b) ≥ 2 Knoten von jedem Klausel-Gadget in jeder VC-Lösung.

Beispiel: $(x_1 \vee x_2 \vee \bar{x}_3) \wedge (\bar{x}_1 \vee \bar{x}_2 \vee x_3)$



VERTEX COVER ist NP-vollständig

Theorem

$3\text{-SAT} \leq_m^P \text{VERTEX COVER}$.

Beweis (Skizze)

Formel $\varphi \rightsquigarrow (G, k = \#\text{Var} + 2\#\text{Klauseln})$

1. Variablen-Gadget: Variable $x_i \rightsquigarrow$ 2 benachbarte Knoten mit Beschriftungen x_i und \bar{x}_i
2. Klausel-Gadget: Klausel $(\ell_{i_1} \vee \ell_{i_2} \vee \ell_{i_3}) \rightsquigarrow$ Dreieck mit Beschriftungen $\ell_{i_1}, \ell_{i_2}, \ell_{i_3}$
3. Verbinde Knoten mit gleicher Beschriftung

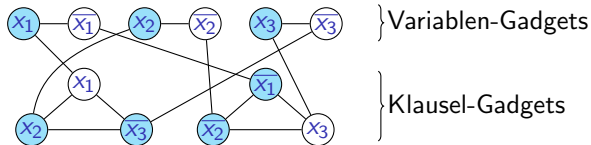
„ \Rightarrow “: aus Variablen-Gadget, wähle entsprechend der Belegung

alle anderen Kanten mit 2 Knoten aus jedem Klausel-Gadget überdeckt

„ \Leftarrow “:

- (a) 1 Knoten von jedem Variablen-Gadget in jeder VC-Lösung
- (b) 2 Knoten von jedem Klausel-Gadget in jeder VC-Lösung.

Beispiel: $(x_1 \vee x_2 \vee \bar{x}_3) \wedge (\bar{x}_1 \vee \bar{x}_2 \vee x_3)$



VERTEX COVER ist NP-vollständig

Theorem

$3\text{-SAT} \leq_m^P \text{VERTEX COVER}$.

Beweis (Skizze)

Formel $\varphi \rightsquigarrow (G, k = \#\text{Var} + 2\#\text{Klauseln})$

1. Variablen-Gadget: Variable $x_i \rightsquigarrow$ 2 benachbarte Knoten mit Beschriftungen x_i und \bar{x}_i
2. Klausel-Gadget: Klausel $(\ell_{i_1} \vee \ell_{i_2} \vee \ell_{i_3}) \rightsquigarrow$ Dreieck mit Beschriftungen $\ell_{i_1}, \ell_{i_2}, \ell_{i_3}$
3. Verbinde Knoten mit gleicher Beschriftung

„ \Rightarrow “: aus Variablen-Gadget, wähle entsprechend der Belegung

„ \rightsquigarrow “: alle anderen Kanten mit 2 Knoten aus jedem Klausel-Gadget überdeckt

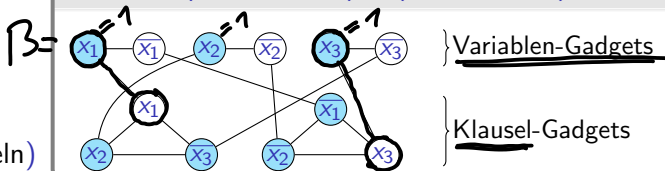
„ \Leftarrow “:

(a) = 1 Knoten von jedem Variablen-Gadget in jeder VC-Lösung

(b) = 2 Knoten von jedem Klausel-Gadget in jeder VC-Lösung.

„ \rightsquigarrow “: jedes Klausel-Gadget benachbart zu einem Knoten in VC-Lösung

Beispiel: $(x_1 \vee x_2 \vee \bar{x}_3) \wedge (\bar{x}_1 \vee \bar{x}_2 \vee x_3)$



VERTEX COVER ist NP-vollständig

Theorem

$3\text{-SAT} \leq_m^P \text{VERTEX COVER}$.

Beweis (Skizze)

Formel $\varphi \rightsquigarrow (G, k = \# \text{Var} + 2 \# \text{Klauseln})$

1. Variablen-Gadget: Variable $x_i \rightsquigarrow 2$ benachbarte Knoten mit Beschriftungen x_i und \bar{x}_i
2. Klausel-Gadget: Klausel $(\ell_{i_1} \vee \ell_{i_2} \vee \ell_{i_3}) \rightsquigarrow$ Dreieck mit Beschriftungen $\ell_{i_1}, \ell_{i_2}, \ell_{i_3}$
3. Verbinde Knoten mit gleicher Beschriftung

„ \Rightarrow “: aus Variablen-Gadget, wähle entsprechend der Belegung

\rightsquigarrow alle anderen Kanten mit 2 Knoten aus jedem Klausel-Gadget überdeckt

„ \Leftarrow “:

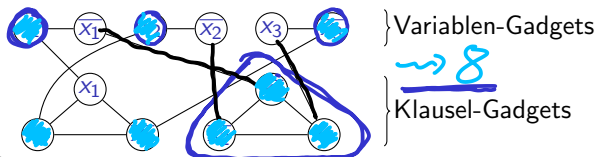
(a) $= 1$ Knoten von jedem Variablen-Gadget in jeder VC-Lösung

(b) $= 2$ Knoten von jedem Klausel-Gadget in jeder VC-Lösung.

\rightsquigarrow jedes Klausel-Gadget benachbart zu einem Knoten in VC-Lösung

\rightsquigarrow entsprechende Belegung erfüllt die Formel!

Beispiel: $(x_1 \vee x_2 \vee \bar{x}_3) \wedge (\bar{x}_1 \vee \bar{x}_2 \vee x_3)$



DOMINATING SET ist NP-vollständig

Theorem

VERTEX COVER \leq_m^p DOMINATING SET.

DOMINATING SET ist NP-vollständig

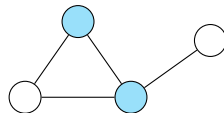
Theorem

VERTEX COVER \leq_m^p DOMINATING SET.

Beweis (Skizze)

(G, k) \rightsquigarrow (G', k)

Beispiel



$k = 2$

VERTEX COVER

$k = 2$

DOMINATING SET

DOMINATING SET ist NP-vollständig

Theorem

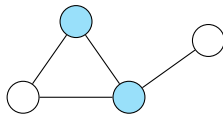
VERTEX COVER \leq_m^p DOMINATING SET.

Beweis (Skizze)

$(G, k) \rightsquigarrow (G', k)$

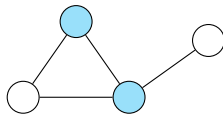
1. setze initial $G' = G$

Beispiel



$k = 2$

VERTEX COVER



$k = 2$

DOMINATING SET

DOMINATING SET ist NP-vollständig

Theorem

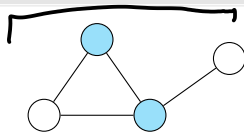
VERTEX COVER \leq_m^p DOMINATING SET.

Beweis (Skizze)

$(G, k) \rightsquigarrow (G', k)$

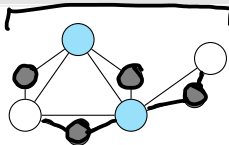
1. setze initial $G' = G$
2. für jede Kante $e = \{u, v\}$ in G :
erzeuge einen neuen (grauen) Knoten in G' und verbinde ihn mit u und v

Beispiel



$k = 2$

VERTEX COVER



$k = 2$

DOMINATING SET

DOMINATING SET ist NP-vollständig

Theorem

VERTEX COVER \leq_m^p DOMINATING SET.

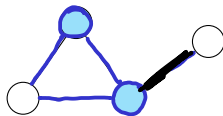
Beweis (Skizze)

$(G, k) \rightsquigarrow (G', k)$

1. setze initial $G' = G$
2. für jede Kante $e = \{u, v\}$ in G :
erzeuge einen neuen (grauen) Knoten in G' und verbinde ihn mit u und v

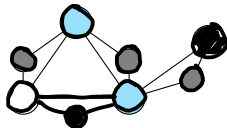
Korrektheit: „ \Rightarrow “: VC-Lösung in G ist auch DS-Lösung in G'

Beispiel



$k = 2$

VERTEX COVER



$k = 2$

DOMINATING SET

DOMINATING SET ist NP-vollständig

Theorem

VERTEX COVER \leq_m^p DOMINATING SET.

Beweis (Skizze)

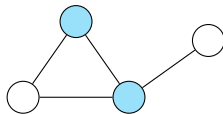
$(G, k) \rightsquigarrow (G', k)$

1. setze initial $G' = G$
2. für jede Kante $e = \{u, v\}$ in G :
erzeuge einen neuen (grauen) Knoten in G' und verbinde ihn mit u und v

Korrektheit: „ \Rightarrow “: VC-Lösung in G ist auch DS-Lösung in G'

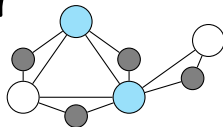
„ \Leftarrow “: Sei $\underline{X} \subseteq V(G')$ eine DS-Lösung für G' mit $\underline{|X|} \leq k$

Beispiel



$k = 2$

VERTEX COVER



$k = 2$

DOMINATING SET

DOMINATING SET ist NP-vollständig

Theorem

VERTEX COVER \leq_m^p DOMINATING SET.

Beweis (Skizze)

$(G, k) \rightsquigarrow (G', k)$

1. setze initial $G' = G$

2. für jede Kante $e = \{u, v\}$ in G :

erzeuge einen neuen (grauen) Knoten in G' und verbinde ihn mit u und v

Korrektheit: „ \Rightarrow “: VC-Lösung in G ist auch DS-Lösung in G'

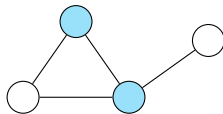
„ \Leftarrow “: Sei $X \subseteq V(G')$ eine DS-Lösung für G' mit $|X| \leq k$

(a) neuer (grauer) Knoten $u \in$ DS-Lösung \rightsquigarrow mit weißem Nachbarn v tauschen

\rightsquigarrow Lösung ohne graue Knoten

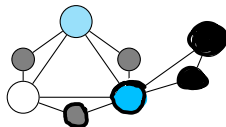
$(X \setminus \{u\}) \cup \{v\}$ ist DS-Lösung

Beispiel



$k = 2$

VERTEX COVER



$k = 2$

DOMINATING SET

DOMINATING SET ist NP-vollständig

Theorem

VERTEX COVER \leq_m^P DOMINATING SET.

Beweis (Skizze)

$(G, k) \rightsquigarrow (G', k)$

1. setze initial $G' = G$

2. für jede Kante $e = \{u, v\}$ in G :

erzeuge einen neuen (grauen) Knoten in G' und verbinde ihn mit u und v

Korrektheit: „ \Rightarrow “: VC-Lösung in G ist auch DS-Lösung in G'

„ \Leftarrow “: Sei $X \subseteq V(G')$ eine DS-Lösung für G' mit $|X| \leq k$

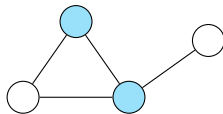
(a) neuer (grauer) Knoten \in DS-Lösung \rightsquigarrow mit weißem Nachbarn tauschen

\rightsquigarrow Lösung ohne graue Knoten

(b) graue Knoten dominiert \rightsquigarrow jede Kante in G hat Endpunkt in X

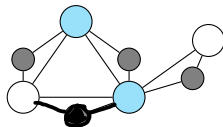
\rightsquigarrow X ist vertex cover in G

Beispiel



$k = 2$

VERTEX COVER



$k = 2$

DOMINATING SET

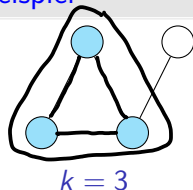
CLIQUE ist NP-vollständig

Clique

Eingabe: ungerichteter Graph G und Zahl $k \in \mathbb{N}$

Frage: Hat G einen vollständigen Teilgraph G' mit $\geq k$ Knoten?

Beispiel



CLIQUE ist NP-vollständig

Clique

Eingabe: ungerichteter Graph G und Zahl $k \in \mathbb{N}$

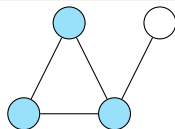
Frage: Hat G einen vollständigen Teilgraph G' mit $\geq k$ Knoten?

$$\underline{VC} \leq_m^P \underline{IS}$$

Theorem

INDEPENDENT SET \leq_m^P CLIQUE.

Beispiel



$k = 3$

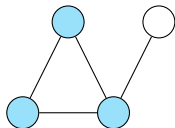
CLIQUE ist NP-vollständig

Clique

Eingabe: ungerichteter Graph G und Zahl $k \in \mathbb{N}$

Frage: Hat G einen vollständigen Teilgraph G' mit $\geq k$ Knoten?

Beispiel



$k = 3$

Theorem

INDEPENDENT SET \leq_m^P CLIQUE.

Beweis (Skizze)

$(G = (V, E), k) \sim (\bar{G} = (V, \binom{V}{2} \setminus E), k)$

Korrektheit:

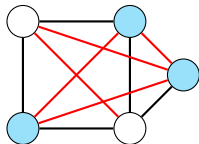
Jede unabhängige Knotenmenge in G
bildet eine Clique in \bar{G} und umgekehrt, also:

$(G, k) \in \text{INDEPENDENT SET} \Leftrightarrow (\bar{G}, k) \in \text{CLIQUE}$

ungeordnete
Knotenpaare

keine Kante zwischen
 u & v in G
 \Leftrightarrow
Kante zwischen
 u & v in \bar{G}

Beispiel



$k = 3$

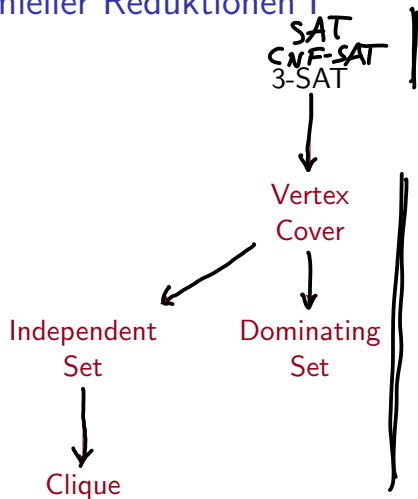
INDEPENDENT SET
CLIQUE

Wenn ein "Dominostein" viele...

$SAT \leq_P^P 3-SAT \leq_P^P VC \leq_P^P IS \leq_P^P CLIQUE \leq_P^P SAT$



Netzwerk polynomieller Reduktionen I



HITTING SET und SET COVER

Eingabe:

- (1) Grundmenge („Universum“) $\underline{U} := \{x_1, x_2, \dots, x_n\}$,
- (2) eine Teilmengenfamilie $\mathcal{F} := \{\underline{S_1}, \underline{S_2}, \dots, \underline{S_m}\}$ mit $\underline{S_i} \subseteq \underline{U}$ für $1 \leq i \leq m$ und
- (3) ein $\underline{k} \in \mathbb{N}$

HITTING SET und SET COVER

Eingabe:

- (1) Grundmenge („Universum“) $U := \{\underline{x_1}, x_2, \dots, \underline{x_n}\}$,
- (2) eine Teilmengenfamilie $\mathcal{F} := \{\underline{S_1}, \underline{S_2}, \dots, \underline{S_m}\}$ mit $S_i \subseteq U$ für $1 \leq i \leq m$ und
- (3) ein $k \in \mathbb{N}$

Hitting Set

Frage: Existiert eine Teilmenge $\underline{X \subseteq U}$ mit $\underline{|X| \leq k}$ und $\underline{X \cap S_i} \neq \emptyset$ für jedes S_i ?

HITTING SET und SET COVER

Eingabe:

- (1) Grundmenge („Universum“) $U := \{x_1, x_2, \dots, x_n\}$,
- (2) eine Teilmengenfamilie $\mathcal{F} := \{\underline{S}_1, S_2, \dots, \underline{S}_m\}$ mit $S_i \subseteq U$ für $1 \leq i \leq n$ und
- (3) ein $k \in \mathbb{N}$

Hitting Set

Frage: Existiert eine Teilmenge $X \subseteq U$ mit $|X| \leq k$ und $X \cap S_i \neq \emptyset$ für jedes S_i ?

Set Cover

Frage: Existiert ein $\mathcal{Z} \subseteq \mathcal{F}$ mit $|\mathcal{Z}| \leq k$ und $\bigcup_{S \in \mathcal{Z}} S = U$?

HITTING SET und SET COVER

Eingabe:

- (1) Grundmenge („Universum“) $U := \{x_1, x_2, \dots, x_n\}$,
- (2) eine Teilmengefamilie $\mathcal{F} := \{S_1, S_2, \dots, S_m\}$ mit $S_i \subseteq U$ für $1 \leq i \leq m$ und
- (3) ein $k \in \mathbb{N}$

Hitting Set

Frage: Existiert eine Teilmenge $X \subseteq U$ mit $|X| \leq k$ und $X \cap S_i \neq \emptyset$ für jedes S_i ?

Set Cover

Frage: Existiert ein $\mathcal{Z} \subseteq \mathcal{F}$ mit $|\mathcal{Z}| \leq k$ und $\bigcup_{S \in \mathcal{Z}} S = U$?

Beispiel

- (1) $U = \{\textcolor{red}{1}, 2, 3, \textcolor{red}{4}, 5, 6\}$,
- (2) $S_1 = \{\textcolor{red}{1}, 3\}$, $S_2 = \{3, \textcolor{red}{4}\}$, $S_3 = \{\textcolor{red}{1}, 5\}$, $S_4 = \{2, \textcolor{red}{4}, 6\}$, $S_5 = \{\textcolor{red}{1}, 3, 5\}$
- (3) $k = 2$

$$S_4 \cup S_5 = U$$

HITTING SET und SET COVER

Eingabe:

- (1) Grundmenge („Universum“) $U := \{x_1, x_2, \dots, x_n\}$,
- (2) eine Teilmengenfamilie $\mathcal{F} := \{S_1, S_2, \dots, S_m\}$ mit $S_i \subseteq U$ für $1 \leq i \leq n$ und
- (3) ein $k \in \mathbb{N}$

Hitting Set

Frage: Existiert eine Teilmenge $X \subseteq U$ mit $|X| \leq k$ und $X \cap S_i \neq \emptyset$ für jedes S_i ?

Set Cover

Frage: Existiert ein $\mathcal{Z} \subseteq \mathcal{F}$ mit $|\mathcal{Z}| \leq k$ und $\bigcup_{S \in \mathcal{Z}} S = U$?

Beispiel

- (1) $U = \{1, 2, 3, 4, 5, 6\}$,
 - (2) $S_1 = \{1, 3\}$, $S_2 = \{3, 4\}$, $S_3 = \{1, 5\}$, $S_4 = \{2, 4, 6\}$, $S_5 = \{1, 3, 5\}$
 - (3) $k = 2$
- $\leadsto X = \{1, 4\}$, $\mathcal{Z} = \{S_4, S_5\}$.

HITTING SET ist NP-vollständig

Theorem

VERTEX COVER \leq_m^p HITTING SET.

HITTING SET ist NP-vollständig

Theorem

VERTEX COVER \leq_m^p HITTING SET.

Beweis (Skizze)

$(G = (V, E), k) \leadsto (\underline{U = V}, \underline{\mathcal{F} = E}, \underline{k})$

Korrektheit: klar

In der Tat ist VERTEX COVER auch bekannt als „2-Hitting Set“.

HITTING SET ist NP-vollständig

Theorem

VERTEX COVER \leq_m^p HITTING SET.

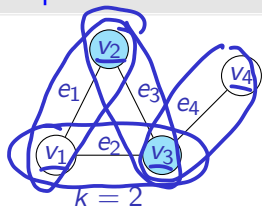
Beweis (Skizze)

$(G = (V, E), k) \rightsquigarrow (U = V, \mathcal{F} = E, k)$

Korrektheit: klar

In der Tat ist VERTEX COVER auch bekannt als „2-Hitting Set“.

Beispiel



$$U = \{v_1, v_2, v_3, v_4\}$$
$$\mathcal{F} = \{\{v_1, v_2\}, \{v_1, v_3\}, \{v_2, v_3\}, \{v_3, v_4\}\}$$

SET COVER ist NP-vollständig

Theorem

HITTING SET \leq_m^p SET COVER.

SET COVER ist NP-vollständig

Theorem

HITTING SET \leq_m^P SET COVER.

HS/SC Dualität

$\mathcal{F} \setminus U$	①	2	3	④
→ {1, 2}				
→ {1, 4}				
→ {2, 3, 4}				

$SC(\downarrow) \stackrel{!}{=} HS(\uparrow)$

$U \setminus \mathcal{F}$	{1, 2}	{1, 4}	{2, 3, 4}
1			
2			
3			
4			

SET COVER ist NP-vollständig

Theorem

HITTING SET \leq_m^P SET COVER.

Beweis (Skizze)

$(U, \mathcal{F}, k) \sim (U_{SC} = \mathcal{F}, \mathcal{F}_{SC} = \{F_x \mid x \in U\}, k)$
mit $F_x := \{S_i \in \mathcal{F} \mid x \in S_i\}$

HS/SC Dualität

$\mathcal{F} \setminus U$	1	2	3	4
$\{1, 2\}$				
$\{1, 4\}$				
$\{2, 3, 4\}$				



$U \setminus \mathcal{F}$	$\{1, 2\}$	$\{1, 4\}$	$\{2, 3, 4\}$
1			
2			
3			
4			

SET COVER ist NP-vollständig

Theorem

HITTING SET \leq_m^P SET COVER.

Beweis (Skizze)

$(U, \mathcal{F}, k) \leadsto (U_{SC} = \mathcal{F}, \mathcal{F}_{SC} = \{F_x \mid x \in U\}, k)$

mit $F_x := \{S_i \in \mathcal{F} \mid x \in S_i\}$

HS/SC Dualität

$\mathcal{F} \setminus U$	1	2	3	4
$\{1, 2\}$	■	■	□	□
$\{1, 4\}$	■	□	□	■
$\{2, 3, 4\}$	□	■	■	■



$\{\{1, 2\}, \{1, 4\}\} = F_1$
 $= F_2$

$\mathcal{F}_{SC} \setminus \mathcal{F}$	$\{1, 2\}$	$\{1, 4\}$	$\{2, 3, 4\}$
F_1	■	■	□
F_2	■	□	■
F_3	□	□	■
F_4	□	■	■

SET COVER ist NP-vollständig

Theorem

HITTING SET \leq_m^P SET COVER.

Beweis (Skizze)

$(U, \mathcal{F}, k) \sim (\underline{U_{SC} = \mathcal{F}}, \mathcal{F}_{SC} = \{F_x \mid x \in U\}, k)$

mit $\underline{F_x := \{S_i \in \mathcal{F} \mid x \in S_i\}}$

Korrektheit:

df HS $X \subseteq U$ ist ein Hitting Set für \mathcal{F}

$$\Leftrightarrow \forall_{S_i \in \mathcal{F}} \exists_{x \in X} x \in S_i \quad \Leftrightarrow \quad \forall_{S_i \in \mathcal{F}} \exists_{x \in X} \underline{S_i \in F_x}$$

$$\Leftrightarrow \bigcup_{x \in X} F_x = \mathcal{F}$$

$\Leftrightarrow \underline{Z := \{F_x \mid x \in X\}}$ ist ein Set Cover für $\underline{\mathcal{F} = U_{SC}}$

df SC

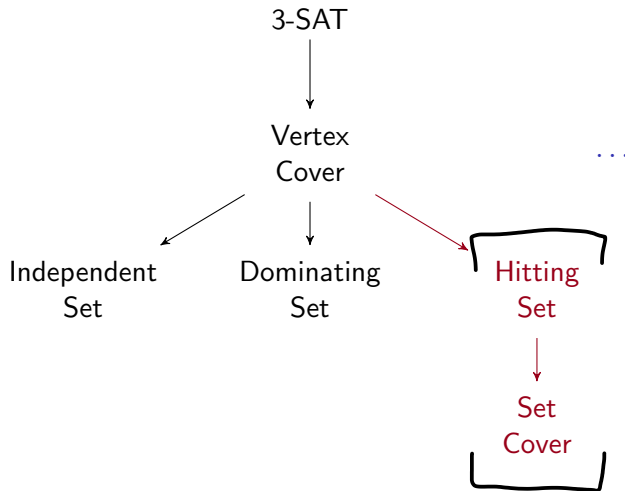
HS/SC Dualität

$\mathcal{F} \setminus U$	1	2	3	4
{1, 2}				
{1, 4}				
{2, 3, 4}				

poly Zeit

$\mathcal{F}_{SC} \setminus \mathcal{F}$	{1, 2}	{1, 4}	{2, 3, 4}
<i> </i> F_1			
F_2			
F_3			
<i> </i> F_4			

Netzwerk polynomieller Reduktionen II



SUBSET SUM

Ein Problem u.a. aus dem Bereich „Scheduling“ (Ablaufsteuerung).

Subset Sum

Eingabe: Multi-Menge $U := \{u_1, u_2, \dots, u_n\}$ von natürlichen Zahlen und eine Zahl $B \in \mathbb{N}$

Frage: Existiert eine Teilmenge $X \subseteq U$, die sich zu B summiert, d.h. $\sum_{u \in X} u = B$?

Beispiel

$U = \{\underline{4}, \underline{4}, 11, 16, \underline{21}\}$ und $\underline{B = 29}$.

SUBSET SUM

Ein Problem u.a. aus dem Bereich „Scheduling“ (Ablaufsteuerung).

Subset Sum

Eingabe: Multi-Menge $U := \{u_1, u_2, \dots, u_n\}$ von natürlichen Zahlen und eine Zahl $B \in \mathbb{N}$

Frage: Existiert eine Teilmenge $X \subseteq U$, die sich zu B summiert, d.h. $\sum_{u \in X} u = B$?

Beispiel

$U = \{4, 4, 11, 16, 21\}$ und $B = 29$.

$\leadsto X = \{4, 4, 21\}$.

SUBSET SUM ist NP-vollständig

Theorem

3-SAT \leq_m^P SUBSET SUM.

SUBSET SUM ist NP-vollständig

Theorem

3-SAT \leq_m^P SUBSET SUM.

Beweis (Skizze)

Konstruktion: Variablen x_1, \dots, x_n , Klauseln c_1, \dots, c_m

Beispiel

$$c_1: x_1 \vee x_2 \vee \overline{x_3}$$

$$c_2: \overline{x_1} \vee x_2 \vee x_3$$

$$c_3: \overline{x_1} \vee \overline{x_2} \vee \overline{x_3}$$

SUBSET SUM ist NP-vollständig

Theorem

3-SAT \leq_m^P SUBSET SUM.

Beweis (Skizze)

Konstruktion: Variablen x_1, \dots, x_n , Klauseln c_1, \dots, c_m

- Für jedes x_j bilde zwei Dezimalzahlen $y_i, z_i \in \{0, 1\}^{n+m}$ mit:
Vordere n Ziffern: j -te Stelle von y_i und z_i ist 1, alle anderen sind 0.
Hintere m Ziffern: j -te Stelle von y_i ist 1 falls $x_j \in c_j$, und sonst 0.
 j -te Stelle von z_i ist 1 falls $\bar{x}_j \in c_j$, und sonst 0.

Beispiel

$$c_1: \cancel{x_1} \vee x_2 \vee \bar{x}_3$$

$$c_2: \bar{\cancel{x_1}} \vee x_2 \vee x_3$$

$$c_3: \bar{\cancel{x_1}} \vee \bar{x}_2 \vee \bar{x}_3$$

	x_1	x_2	x_3	c_1	c_2	c_3
y_1 :	1	0	0	1	0	0
z_1 :	1	0	0	0	1	1

SUBSET SUM ist NP-vollständig

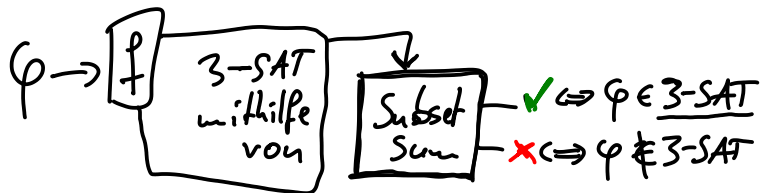
Theorem

$3\text{-SAT} \leq_m \text{SUBSET SUM}$.

Beweis (Skizze)

Konstruktion: Variablen x_1, \dots, x_n , Klauseln c_1, \dots, c_m

- Für jedes x_i bilde zwei Dezimalzahlen $y_i, z_i \in \{0, 1\}^{n+m}$ mit:
 Vordere n Ziffern: i -te Stelle von y_i und z_i ist 1, alle anderen sind 0.
 Hintere m Ziffern: j -te Stelle von y_i ist 1 falls $x_i \in c_j$, und sonst 0.
 j -te Stelle von z_i ist 1 falls $\bar{x}_i \in c_j$, und sonst 0.



Beispiel

$$c_1: x_1 \vee x_2 \vee \bar{x}_3$$

$$c_2: \bar{x}_1 \vee x_2 \vee x_3$$

$$c_3: \bar{x}_1 \vee \bar{x}_2 \vee \bar{x}_3$$

	x_1	x_2	x_3	c_1	c_2	c_3
y_1	1	0	0	1	0	0
z_1	1	0	0	0	1	1
y_2	0	1	0	1	1	0
z_2	0	1	0	0	0	1
y_3	0	0	1	0	1	0
z_3	0	0	1	1	0	1
B:	1	1	1	1	1	1
				2		

SUBSET SUM ist NP-vollständig

Theorem

3-SAT \leq_m^P SUBSET SUM.

Beweis (Skizze)

Konstruktion: Variablen x_1, \dots, x_n , Klauseln c_1, \dots, c_m

1. Für jedes x_i bilde zwei Dezimalzahlen $y_i, z_i \in \{0, 1\}^{n+m}$ mit:
Vordere n Ziffern: i -te Stelle von y_i und z_i ist 1, alle anderen sind 0.
Hintere m Ziffern: j -te Stelle von y_i ist 1 falls $x_i \in c_j$, und sonst 0.
 j -te Stelle von z_i ist 1 falls $\bar{x}_i \in c_j$, und sonst 0.
2. Für jede Klausel c_j , bilde zwei **dezimale** „Füllzahlen“ g_j, h_j

Beispiel

$$c_1: x_1 \vee x_2 \vee \bar{x}_3$$

$$c_2: \bar{x}_1 \vee x_2 \vee x_3$$

$$c_3: \bar{x}_1 \vee \bar{x}_2 \vee \bar{x}_3$$

	x_1	x_2	x_3	\downarrow c_1	\downarrow c_2	\downarrow c_3
y_1	1	0	0	1	0	0
z_1	1	0	0	0	1	1
y_2	0	1	0	1	1	0
z_2	0	1	0	0	0	1
y_3	0	0	1	0	1	0
z_3	0	0	1	1	0	1
g_1	0	0	0	1	0	0
h_1	0	0	0	1	0	0

B

3

SUBSET SUM ist NP-vollständig

Theorem

$3\text{-SAT} \leq_m^P \text{SUBSET SUM}$.

Beweis (Skizze)

Konstruktion: Variablen x_1, \dots, x_n , Klauseln c_1, \dots, c_m

- Für jedes x_i bilde zwei Dezimalzahlen $y_i, z_i \in \{0, 1\}^{n+m}$ mit:
Vordere n Ziffern: i -te Stelle von y_i und z_i ist 1, alle anderen sind 0.
Hintere m Ziffern: j -te Stelle von y_i ist 1 falls $x_i \in c_j$, und sonst 0.
 j -te Stelle von z_i ist 1 falls $\bar{x}_i \in c_j$, und sonst 0.
- Für jede Klausel c_j , bilde zwei **dezimale** „Füllzahlen“ g_j, h_j

Beispiel

$$c_1: x_1 \vee x_2 \vee \bar{x}_3$$

$$c_2: \bar{x}_1 \vee x_2 \vee x_3$$

$$c_3: \bar{x}_1 \vee \bar{x}_2 \vee \bar{x}_3$$

	x_1	x_2	x_3	c_1	c_2	c_3
y_1 :	1	0	0	1	0	0
z_1 :	1	0	0	0	1	1
y_2 :	0	1	0	1	1	0
z_2 :	0	1	0	0	0	1
y_3 :	0	0	1	0	1	0
z_3 :	0	0	1	1	0	1
g_1 :	0	0	0	1	0	0
h_1 :	0	0	0	1	0	0
g_2 :	0	0	0	0	1	0
h_2 :	0	0	0	0	1	0
g_3 :	0	0	0	0	0	1
h_3 :	0	0	0	0	0	1

SUBSET SUM ist NP-vollständig

Theorem

3-SAT \leq_m^P SUBSET SUM.

Beweis (Skizze)

Konstruktion: Variablen x_1, \dots, x_n , Klauseln c_1, \dots, c_m

1. Für jedes x_i bilde zwei Dezimalzahlen $y_i, z_i \in \{0, 1\}^{n+m}$ mit:
Vordere n Ziffern: i -te Stelle von y_i und z_i ist 1, alle anderen sind 0.
Hintere m Ziffern: j -te Stelle von y_i ist 1 falls $x_i \in c_j$, und sonst 0.
 j -te Stelle von z_i ist 1 falls $\bar{x}_i \in c_j$, und sonst 0.
2. Für jede Klausel c_j , bilde zwei dezimale „Füllzahlen“ g_j, h_j
3. Setze Dezimalzahl $B := \underbrace{1 \dots 1}_n \underbrace{3 \dots 3}_m$.

Beispiel

$$c_1: x_1 \vee x_2 \vee \bar{x}_3$$

$$c_2: \bar{x}_1 \vee x_2 \vee x_3$$

$$c_3: \bar{x}_1 \vee \bar{x}_2 \vee \bar{x}_3$$

	x_1	x_2	x_3	c_1	c_2	c_3
y_1 :	1	0	0	1	0	0
z_1 :	1	0	0	0	1	1
y_2 :	0	1	0	1	1	0
z_2 :	0	1	0	0	0	1
y_3 :	0	0	1	0	1	0
z_3 :	0	0	1	1	0	1
g_1 :	0	0	0	1	0	0
h_1 :	0	0	0	1	0	0
g_2 :	0	0	0	0	1	0
h_2 :	0	0	0	0	1	0
g_3 :	0	0	0	0	0	1
h_3 :	0	0	0	0	0	1
B :	1	1	1	3	3	3

1 0

SUBSET SUM ist NP-vollständig

Theorem

3-SAT \leq_m^P SUBSET SUM.

Beweis (Skizze)

Konstruktion: Variablen x_1, \dots, x_n , Klauseln c_1, \dots, c_m

- Für jedes x_i bilde zwei Dezimalzahlen $y_i, z_i \in \{0, 1\}^{n+m}$ mit:
Vordere n Ziffern: i -te Stelle von y_i und z_i ist 1, alle anderen sind 0.
Hintere m Ziffern: j -te Stelle von y_i ist 1 falls $x_i \in c_j$, und sonst 0.
 j -te Stelle von z_i ist 1 falls $\bar{x}_i \in c_j$, und sonst 0.
- Für jede Klausel c_j , bilde zwei **dezimale** „Füllzahlen“ g_j, h_j
- Setze Dezimalzahl $B := \underbrace{1 \dots 1}_n \underbrace{3 \dots 3}_m$.

Korrektheit „ \Rightarrow “: Sei β eine erfüllende Belegung.

\leadsto Lösung = $\{y_i \mid \beta(x_i) = 1\}$ \cup $\{z_i \mid \beta(x_i) = 0\}$ + geeignete g_j & h_j

Beispiel

$$c_1: x_1 \vee x_2 \vee \bar{x}_3$$

$$c_2: \bar{x}_1 \vee x_2 \vee x_3$$

$$c_3: \bar{x}_1 \vee \bar{x}_2 \vee \bar{x}_3$$

	x_1	x_2	x_3	c_1	c_2	c_3
y_1	1	0	0	1	0	0
z_1	1	0	0	0	1	1
y_2	0	1	0	1	1	0
z_2	0	1	0	0	0	1
y_3	0	0	1	0	1	0
z_3	0	0	1	1	0	1
g_1	0	0	0	1	0	0
h_1	0	0	0	1	0	0
g_2	0	0	0	0	1	0
h_2	0	0	0	0	1	0
g_3	0	0	0	0	0	1
h_3	0	0	0	0	0	1
B	1	1	1	3	3	3

SUBSET SUM ist NP-vollständig

Theorem

3-SAT \leq_m^P SUBSET SUM.

Beweis (Skizze)

Konstruktion: Variablen x_1, \dots, x_n , Klauseln c_1, \dots, c_m

- Für jedes x_i bilde zwei Dezimalzahlen $y_i, z_i \in \{0, 1\}^{n+m}$ mit:
Vordere n Ziffern: i -te Stelle von y_i und z_i ist 1, alle anderen sind 0.
Hintere m Ziffern: j -te Stelle von y_i ist 1 falls $x_i \in c_j$, und sonst 0.
 j -te Stelle von z_i ist 1 falls $\bar{x}_i \in c_j$, und sonst 0.
- Für jede Klausel c_j , bilde zwei **dezimale** „Füllzahlen“ g_j, h_j
- Setze Dezimalzahl $B := \underbrace{1 \dots 1}_n \underbrace{3 \dots 3}_m$.

Korrektheit „ \Rightarrow “: Sei β eine erfüllende Belegung.

\leadsto Lösung = $\{y_i \mid \beta(x_i) = 1\} \cup \{z_i \mid \beta(x_i) = 0\}$ + geeignete g_j & h_j

„ \Leftarrow “: Sei X eine Menge von Zahlen mit $\sum_{u \in X} u = B$.

erste n Ziffern $\leadsto \underline{y_i \in X \Leftrightarrow z_i \notin X}$

Die Belegung β mit $\beta(x_i) = 1$ falls $y_i \in X$, und $\beta(x_i) = 0$ sonst, ist erfüllend.

Beispiel

$$c_1: x_1 \vee x_2 \vee \bar{x}_3$$

$$c_2: \bar{x}_1 \vee x_2 \vee x_3$$

$$c_3: \bar{x}_1 \vee \bar{x}_2 \vee \bar{x}_3$$

	x_1	x_2	x_3	c_1	c_2	c_3
y_1 :	1	0	0	1	0	0
z_1 :	1	0	0	0	1	1
y_2 :	0	1	0	1	1	0
z_2 :	0	1	0	0	0	1
y_3 :	0	0	1	0	1	0
z_3 :	0	0	1	1	0	1
g_1 :	0	0	0	1	0	0
h_1 :	0	0	0	1	0	0
g_2 :	0	0	0	0	1	0
h_2 :	0	0	0	0	1	0
g_3 :	0	0	0	0	0	1
h_3 :	0	0	0	0	0	1
B :	1	1	1	3	3	3
				2	2	2
				1	1	1

Netzwerk polynomieller Reduktionen III

